



شیمی کانی‌ها و زمین دما - فشارسنگی دسته دایک‌های دیابازی ژوراسیک، غرب رضا آباد (جنوب‌غربی بیار جمند)

مجتبی رستمی حصوری^۱، حبیب‌الله قاسمی^۱، پانگ کاوان نانگ^۲، مهدی رضایی^۱، محسن مباشری^۱

۱- گروه پترولوزی و زمین‌شناسی اقتصادی، دانشکده علوم زمین، دانشگاه صنعتی شاهزاد

۲- موسسه علوم زمین، آکادمی سینیکا، تایپه، تایوان

(دریافت مقاله: ۹۵/۹/۲۰، نسخه نهایی: ۹۵/۱۲/۲۶)

چکیده: در منطقه رضا آباد در شرق شهرود، دسته دایک‌های دیابازی (گابرو/دیوریتی) با روندهای شمال غربی-جنوب خاور، مجموعه دگرگونی-آذرین پرکامبرین ایران مرکزی را قطع کرده‌اند. این سنگ‌ها دارای بافت‌های میان دانه‌ای، افیتی و نیمه‌افیتی هستند. کانی‌های اصلی تشکیل‌دهنده این سنگ‌ها شامل کلینوپیروکسن (اوژیت تا دیوپسید)، پلازیوکلاز (الیگوکلاز-آنزین و لابرادوریت-بیتونیت) و آمفیبول (مگنزیوهومنبلند) است. آپاتیت، اسفن و منیتیت نیز کانی‌های فرعی آن‌ها را تشکیل می‌دهند. براساس شیمی کلینوپیروکسن‌ها، ماقمای اولیه سازنده این سنگ‌ها دارای ماهیت قلیایی و بیانگر جایگاه درون ورقه‌ای بوده است. برآوردهای دما-فشارسنگی روی کانی کلینوپیروکسن بیانگر گستره دمایی ۱۱۰۰ تا ۱۲۰۰ درجه سانتی‌گراد و فشار ۱ تا ۱۰ کیلوبار با تراکمی در گستره ۴ تا ۸ کیلوبار برای تبلور این سنگ‌هاست. براین اساس می‌توان شروع تبلور کلینوپیروکسن‌ها را در آشیانه ماقمایی موجود در عمق ۲۵ کیلومتری معادل با پوسته‌ی میانی در نظر گرفت.

واژه‌های کلیدی: شیمی کانی؛ دما-فشارسنگی؛ دایک دیابازی؛ جایگاه پشت‌کمان؛ رضا آباد، ژوراسیک؛ ایران مرکزی.

مرکزی و دنباله‌های رسوبی تریاس پسین-ژوراسیک پیشین را قطع می‌کنند [۱۱-۹، ۳-۱]. به اعتقاد هانسکی و همکاران [۱۲] این دسته دایک‌ها، اطلاعات زیادی درباره یک کشش بزرگ مقیاس در سنگ‌کره قاره‌ای فراهم آورده و در تفسیر دگرگونی قاره‌ای بسیار مفیدند. بررسی ویژگی‌های ماقمایی در این سنگ‌ها بیانگر ماهیت قلیایی تا نیمه‌قلیایی ماقمای اولیه و تشکیل آن‌ها از ذوب‌بخشی ۵ تا ۳۰ درصدی یک خاستگاه گوشه‌ای غنی شده‌است. اسپینل پریدوتیتی در یک محیط کششی درون قاره‌ای پشت-کمانی اولیه و نبالغ است [۱۱-۹، ۴-۱]. با وجود بررسی‌های متعدد بر روی ویژگی‌های مختلف سنگ‌شناسی این دایک‌ها، هنوز شیمی کانی‌ها و شرایط فیزیکی تبلور آن‌ها با استفاده از روش‌های مختلف دما-فشارسنگی مورد مطالعه قرار نگرفته است. از جمله مطالعات کانی‌شناختی مشابه در مناطق مجاور می‌توان به

مقدمه به باور بسیاری از پژوهشگران، با شروع فرورانش ورقه اقیانوسی نئوتیس به زیر ورقه ایران مرکزی در تریاس پسین-ژوراسیک پیشین، در بخش‌های درونی و شمالی ایران مرکزی [۱۱-۳] و حتی در جنوب البرز [۴-۸]، حوضه‌های کششی پشت‌کمانی اولیه و نبالغ تشکیل شده‌اند. در این حوضه‌ها، سنگ‌های ماقمایی به هر دو صورت نفوذی (دایک، سیل و استوکهای کوچک گابرویی) و خروجی (بازالت) بروزد دارند. این سنگ‌ها، ویژگی‌های زمین‌شیمیایی ماقمایی محیط‌های کششی پشت-کمانی نبالغ را نشان می‌دهند [۳-۱]. در لبه شمالی ایران مرکزی (مناطق دلبر، شترکوه، بندهزارچاه، سفیدسنگ، رضا آباد و احمدآباد در جنوب شرقی شهرود)، دسته دایک‌های دیابازی با روندهای شرقی-غربی مجموعه دگرگونی-آذرین پرکامبرین ایران

بررسی نقطه‌ای کانی‌ها در جدول‌های ۳-۱ آورده شده است. در بررسی و پردازش داده‌ها از نرم افزارهای مختلف ۱.۰۷ Excel, WinAmpcal ۱.۰۲, Grapher ۱۱, WinPyrox استفاده شده است.

زمین‌شناسی منطقه

منطقه مورد بررسی در استان سمنان، در ۵۰ کیلومتری جنوب شرقی بیارجمند قرار گرفته و بخش‌هایی از نقشه‌های زمین‌شناسی ۱:۲۵۰۰۰۰ خارتوران [۱۳] و ۱:۱۰۰۰۰۰ احمدآباد [۱۴] است. سنگ‌های دگرگونی پرکامبرین در منطقه رضا آباد توسط تعداد زیادی دایک‌های مافیک با روند شمال غربی-جنوب‌شرقی قطع می‌شوند (شکل ۱ و ۲). دسته دایک‌های دیابازی دارای چند صدمتر طول هستند و ضخامت آنها از چند سانتی‌متر تا چندین متر تغییر می‌کند و بعضی از آنها توسط گسل‌ها جابه‌جا شده‌اند (شکل‌های ۳ الف و ب). این دایک‌ها در صحراء دارای رنگ خاکستری تیره، ساخته‌های ناپیدا بلور و پورفیری با ترکیب گابرو‌دیوریتی هستند. وجود حاشیه انجماد سریع نیز از دیگر ویژگی‌های بارز آنهاست. به طور کلی این دایک‌ها در قسمت حاشیه‌ای به شدت دانه‌ریز، شیشه‌ای و بدون درشت‌بلور بوده و بیانگر جایگزینی ماقما در اعمق کم هستند.

[۱۱-۹] اشاره کرد. این مقاله، نخستین پژوهش در زمینه شیمی کانی‌ها و زمین‌دما - فشارسنجی دایک‌های دیابازی زوراسیک میانی منطقه رضا آباد است که در آن، سعی شده است با تکیه بر ترکیب دقیق کانی‌ها، جایگاه زمین‌ساختی، نوع ماقما و شرایط تبلور این سنگ‌ها مورد بررسی قرار گیرد.

روش بررسی

پس از بررسی‌های جامع میدانی و برداشت‌های دقیق صحرایی، در مجموع بیش از ۱۰۰ نمونه سنگی از دایک‌های مورد بررسی برداشت شد و تقریباً از همه آن‌ها مقاطع نازک میکروسکوپیکی تهیه شد و مورد بررسی سنگ‌شناسی قرار گرفت. پس از بررسی‌های دقیق سنگنگاری، دو نمونه با کمترین دگرسانی انتخاب شدند و پس از تهیه مقاطع نازک صیقلی با استفاده از ریزپردازندهای الکترونی در انجمن سینیکا (Academia Sinica) در کشور تایوان مورد تجزیه شیمیایی قرار گرفتند. تعداد ۱۲۰ نقطه از کانی‌های کلینوپیروکسن، پلاژیوکلاز و آمفیبول موجود در این سنگ‌ها با استفاده از تصاویر میکروسکوپ الکترونی (SEM) به همراه بررسی کیفی به روش EDS با دستگاه مایکروپروروب ریزپردازنده (JEOL EPMA) با قطر باریکه الکترونی ۲ μm، با ولتاژ شتاب ۱۵ kV، شدت جریان ۱۲ nA مطالعه شدند. نتایج

جدول ۱ نتایج تجزیه نقطه‌ای و محاسبه فرمول ساختاری برخی از کلینوپیروکسن‌ها بر حسب ۶ اتم اکسیژن.

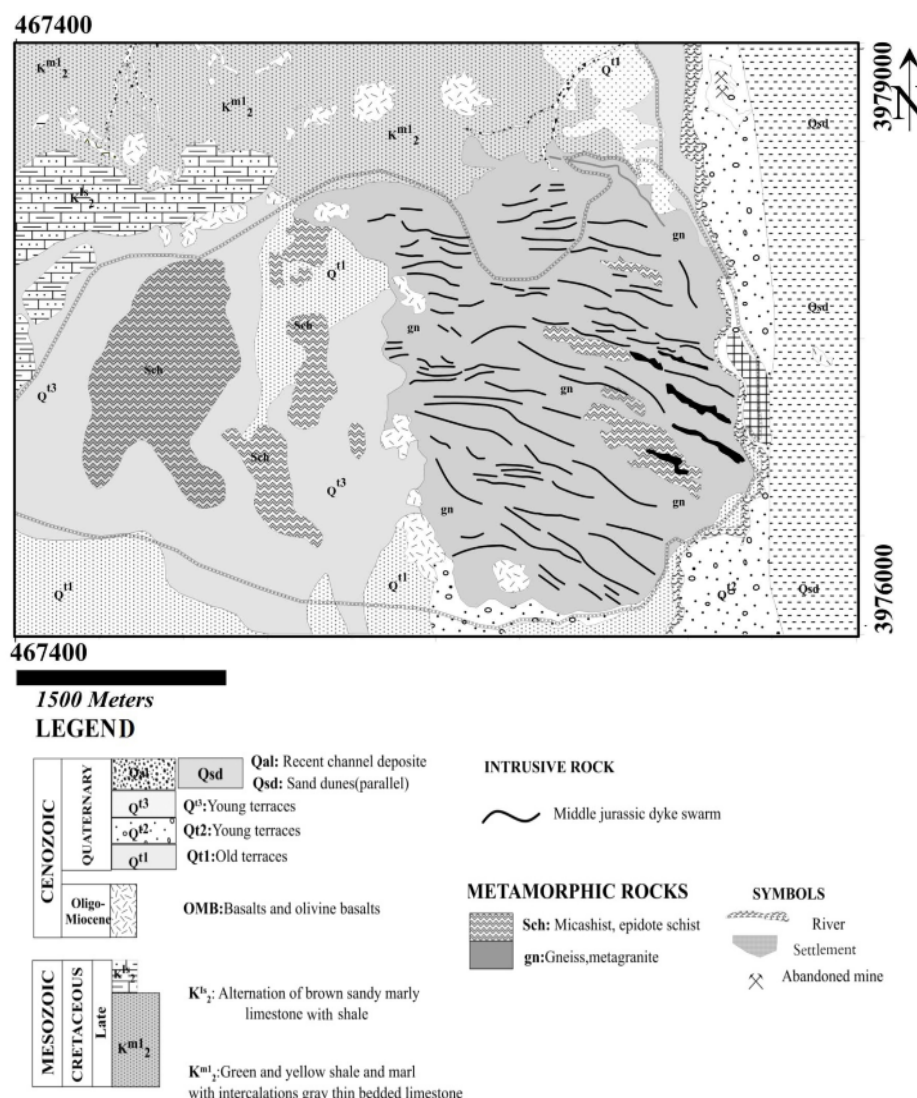
Point	R50-168	R46-11	R46-12	R46-15	R46-18	R46-19	R46-33	R50-112	R50-113	R50-166
SiO ₂	۴۹,۶۹	۴۹,۵۸	۵۰,۸۰	۴۹,۸۳	۴۸,۸۰	۵۰,۰۳	۴۹,۲۹	۵۰,۲۵	۵۰,۵۰	۴۹,۹۷
TiO ₂	۱,۰۴	۰,۸۰	۰,۶۳	۰,۷۲	۰,۸۹	۰,۷۷	۰,۶۷	۰,۹۲	۰,۸۹	۰,۶۶
Al ₂ O ₃	۳,۱۶	۲,۸۱	۲,۴۴	۳,۱۶	۳,۸۵	۳,۷۵	۱,۸۰	۳,۲۷	۲,۹۰	۴,۸۹
FeO	۸,۳۰	۱۱,۱۱	۷,۱۷	۷,۱۶	۷,۱۵	۶,۸۳	۱۲,۲۲	۸,۲۱	۸,۹۴	۵,۳۷
MnO	۰,۲۳	۰,۲۸	۰,۱۷	۰,۱۲	۰,۱۷	۰,۱۲	۰,۴۰	۰,۱۸	۰,۲۳	۰,۳۴
MgO	۱۴,۵۲	۱۳,۹۷	۱۶,۱۱	۱۵,۸۷	۱۵,۶۶	۱۵,۳۰	۱۲,۸۱	۱۵,۴۹	۱۵,۱	۱۵,۶۴
CaO	۲۰,۹۵	۱۹,۷۰	۲۰,۷۵	۲۰,۶۸	۲۰,۲۷	۲۱,۲۵	۱۹,۲۳	۲۱,۲۴	۲۰,۸۴	۲۲,۱۶
Na ₂ O	۰,۵۴	۰,۴۷	۰,۳۲	۰,۳۸	۰,۴۱	۰,۳۶	۰,۴۴	۰,۴۹	۰,۴۷	۰,۳۲
Total	۹۸,۵۰	۹۸,۷۷	۹۸,۴۲	۹۷,۹۹	۹۸,۵۴	۹۸,۵۳	۹۸,۰۸	۱۰۰,۰۹	۹۹,۹۰	۹۹,۴۸
Si	۱,۸۶	۱,۸۷	۱,۸۹	۱,۸۶	۱,۸۵	۱,۸۶	۱,۸۹	۱,۸۵	۱,۸۷	۱,۸۳۸
Ti	۰,۰۳	۰,۰۲	۰,۰۱۸	۰,۰۲	۰,۰۲۵	۰,۰۲۲	۰,۰۱۹	۰,۰۲۶	۰,۰۲۵	۰,۰۱۸
Al	۰,۱۴	۰,۱۲۵	۰,۱۰۸	۰,۱۴	۰,۱۶۹	۰,۱۶۵	۰,۱۸۲	۰,۱۴۲	۰,۱۲۷	۰,۲۱۲
Fe ⁺³	۰,۱۱۴	۰,۱۱۹	۰,۰۸۸	۰,۱۱۴	۰,۰۸۶	۰,۰۸۲	۰,۱۱۶	۰,۱۴۲	۰,۱۱۸	۰,۰۸۹
Fe ⁺²	۰,۱۴۷	۰,۲۳۲	۰,۱۳۶	۰,۱۱۰	۰,۱۳۷	۰,۱۳۱	۰,۳۱۲	۰,۱۱۱	۰,۱۵۹	۰,۰۷۶
Mn	۰,۰۰۷	۰,۰۰۹	۰,۰۰۵	۰,۰۰۴	۰,۰۰۵	۰,۰۰۴	۰,۰۱۳	۰,۰۰۶	۰,۰۰۷	۰,۰۱
Mg	۰,۸۱۳	۰,۷۸۷	۰,۸۹۶	۰,۸۸۶	۰,۸۷۱	۰,۸۵۱	۰,۷۲۴	۰,۸۵	۰,۸۳۳	۰,۸۰۷
Ca	۰,۸۴۳	۰,۷۹۷	۰,۸۳۰	۰,۸۲۰	۰,۸۱	۰,۸۵	۰,۷۹۲	۰,۸۳۸	۰,۸۲۷	۰,۸۳۷
Na	۰,۰۴۲	۰,۰۳۵	۰,۰۲۳	۰,۰۲۸	۰,۰۳	۰,۰۲۶	۰,۰۲۳	۰,۰۳۵	۰,۰۳۴	۰,۰۲۳
Total	۴	۴	۴	۴	۴	۴	۴	۴	۴	۴
Mg#	۷۵,۷۱	۶۹,۱۵	۸۰,۰۱	۷۹,۷۹	۷۹,۵۹	۷۹,۹۶	۶۳,۱۶	۷۷,۰۶	۷۵,۰۵	۸۳,۸۴
Wo%	۴۳,۹۸	۴۱,۲۰	۴۲,۵۶	۴۲,۷۶	۴۲,۵۳	۴۴,۳۹	۴۰,۵۲	۴۳,۱۶	۴۲,۶۷	۴۶,۰۵
En%	۴۲,۴۱	۴۰,۶۵	۴۵,۹۵	۴۵,۶۷	۴۵,۷۳	۴۴,۴۶	۳۷,۵۶	۴۳,۷۹	۴۳,۰۲	۴۵,۲۲
Fs%	۱۳,۶۰	۱۸,۱۳	۱۱,۴۸	۱۱,۵۶	۱۱,۷۲	۱۱,۱۳	۲۱,۹۱	۱۳,۰۳	۱۴,۳	۸,۷۱

جدول ۲ نتایج تجزیه نقطه‌ای و محاسبه فرمول ساختاری برخی از پلاژیوکلазها بر حسب ۸ اتم اکسیژن.

Point	R50-3	R-50-4	R50-8	R50-46	R50-47	R46-1	R46-2	R46-22	R46-23	R46-24
SiO ₂	۴۶,۴۷	۴۶,۷۹	۵۳,۹۱	۵۶,۸۳	۵۰,۷۹	۵۱,۵۹	۶۰,۴۰	۵۵,۷۸	۵۸,۲۳	۵۶,۸۰
TiO ₂	۰,۰۲	۰	۰,۰۷۵	۰,۰۸۶	۰,۱۲۲	۰,۰۶۲	۰,۰۳۷	۰,۰۸۵	۰,۰۵۲	۰,۰۷۹
Al ₂ O ₃	۲۲,۵۵۲	۲۲,۸۲۴	۲۷,۶۵۱	۲۶,۰۵۳	۲۹,۹۵۲	۲۷,۴۲۸	۲۳,۷۶۷	۲۶,۳۸	۲۵,۳۵۹	۲۶,۲۲۳
FeO	۰,۴۵۷	۰,۳۶	۰,۵۲۸	۰,۴۵۸	۰,۶۸۵	۰,۵۳۳	۰,۲۵۷	۰,۴۱۲	۰,۴۸۱	۰,۴۴۸
CaO	۱۶,۴۷۷	۱۶,۴۶۳	۱۰,۲۷۴	۸,۳۱	۱۳,۲۱۶	۹,۴۶۴	۵,۷۲۷	۸,۸۱۸	۷,۱۷	۸,۲۲۴
Na ₂ O	۲,۱۶۴	۲,۱۲۶	۰,۵۲۷	۶,۸۶۲	۴,۱۷۱	۰,۹۷۹	۷,۸۹۱	۶,۴۵۶	۷,۰۲۱	۶,۳۴۹
K ₂ O	۰,۰۳۱	۰,۰۸۳	۰,۱۰۵	۰,۰۹۴	۰,۰۶۹	۰,۰۶	۰,۳۶۳	۰,۰۷۴	۰,۱۴۶	۰,۲۰۳
Total	۹۸,۱۷۸	۹۸,۶۴۹	۹۸,۷۲۱	۹۸,۶۹۸	۹۹,۰۰۶	۹۷,۱۱	۹۸,۴۴	۹۸	۹۸,۴۵	۹۸,۳۴
Si	۲,۱۷۸	۲,۱۸۱	۲,۴۸۳	۲,۵۸۶	۲,۳۴۲	۲,۵۲۴	۲,۷۲۸	۲,۵۵۹	۲,۶۴۲	۲,۵۸۸
Ti	۰,۰۰۱	۰	۰,۰۰۳	۰,۰۰۳	۰,۰۰۴	۰,۰۰۲	۰,۰۰۱	۰,۰۰۳	۰,۰۰۲	۰,۰۰۳
Al	۱,۷۹۸	۱,۸۰۳	۱,۵۰۱	۱,۳۹۷	۱,۶۲۷	۱,۴۶۸	۱,۲۶۵	۱,۴۲۶	۱,۳۵۶	۱,۴۰۸
Fe ⁺²	۰,۰۱۸	۰,۰۱۴	۰,۰۲	۰,۰۱۷	۰,۰۲۶	۰,۰۲	۰,۰۱	۰,۰۱۶	۰,۰۱۸	۰,۰۱۷
Ca	۰,۸۲۷	۰,۸۲۲	۰,۵۰۷	۰,۴۰۵	۰,۶۵۳	۰,۴۶	۰,۲۷۷	۰,۴۳۳	۰,۳۴۸	۰,۴۰۲
Na	۰,۱۹۷	۰,۱۹۲	۰,۴۹۴	۰,۶۰۵	۰,۳۷۳	۰,۵۲۶	۰,۶۹۱	۰,۵۷۴	۰,۶۱۷	۰,۵۶۱
K	۰,۰۰۲	۰,۰۰۵	۰,۰۰۶	۰,۰۰۵	۰,۰۰۴	۰,۰۰۳	۰,۰۲۱	۰,۰۰۴	۰,۰۰۸	۰,۰۱۲
Total	۵	۵	۵	۵	۵	۵	۵	۵	۵	۵
An	۸۰,۶۵	۸۰,۶۷	۵۰,۳۶	۳۹,۸۸	۶۳,۴۲	۴۶,۴۹	۲۸,۰۲	۴۲,۸۵	۳۵,۷۶	۴۲,۲۷
Or	۰	۰	۰,۰۱	۰,۰۱	۰	۰	۰,۰۲	۰	۰,۰۱	۰,۰۱
Ab	۱۹,۱۷	۱۸,۸۵	۴۹,۰۳	۵۹,۵۹	۳۶,۲۲	۵۳,۱۵	۶۹,۸۷	۵۶,۷۸	۶۳,۳۷	۵۷,۰۲

جدول ۳ نتایج تجزیه نقطه‌ای و محاسبه فرمول ساختاری برخی از آمفیبول‌ها بر حسب ۲۳ اتم اکسیژن.

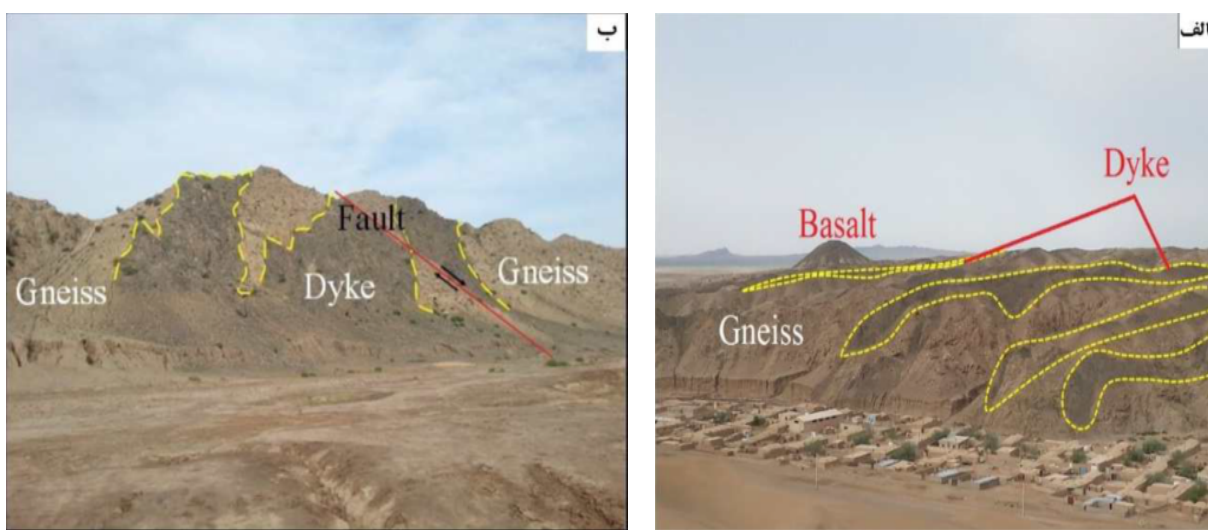
Point	R46-52	R46-53	R46-53	R46-54	R46-55	R50-79	R50-73	R50-76	R50-77	R50-78
SiO ₂	۵۰,۱۹	۵۴,۶۹	۵۳,۵۵	۵۲,۳۵	۴۴,۶۲	۵۳,۰۵	۴۸	۵۰,۲۶	۵۴,۲۷	۵۲,۸۶
TiO ₂	۰,۰۱	۰	۰,۰۴	۰,۰۳	۰,۱۲	۰,۰۰۲	۰,۰۶۹	۰,۰۰۷	۰,۰۷۹	۰,۰۵۶
Al ₂ O ₃	۲,۹۴	۰,۶	۱,۶	۲,۲۳	۷,۱۳	۱,۱۹	۸,۰۸	۴,۷۸	۱,۲۷	۲,۹۱
FeO	۱۳,۹۵	۱۰,۲۳	۱۲,۴۶	۱۲,۰۸۵	۱۸,۰۱۴	۸,۶۷	۱۱,۴	۱۱,۶۵	۱۱,۱۸	۱۰,۷۶
MnO	۰,۲۸۶	۰,۱۵۱	۰,۲۲۴	۰,۱۶۴	۰,۲۰۴	۰,۱۷۴	۰,۱۰۵	۰,۱۱۷	۰,۱۱۵	۰,۱۱۲
MgO	۱۴,۹۱	۱۷,۶۸	۱۶,۲۷	۱۷,۴۳	۱۱,۸۲	۱۸,۶۶	۱۳,۴۲	۱۶,۳۷	۱۷,۱۰۸	۱۷,۰۷۵
CaO	۱۱,۱۰	۱۲,۸۶	۱۲,۲۳	۱۱,۳۲	۱۲,۰۲	۱۲,۹۵	۱۳,۲۳	۱۱,۱۹	۱۲,۶۳	۱۲,۸۴
Na ₂ O	۰,۴۷۲	۰,۰۵۵	۰,۳۲۱	۰,۲۷۱	۱,۲۳	۰,۱۲۲	۰,۱۳۷	۰,۱۴۴	۰,۱۳۹	۰,۳۹۵
K ₂ O	۰,۱۴۱	۰,۰۰۸	۰,۰۰۶	۰,۰۱۳	۰,۴۲۱	۰,۰۱۲	۰,۰۰۱	۰,۰۷۳	۰,۰۲۸	۰,۰۴۲
Total	۹۵,۷	۹۶,۳	۹۶,۷	۹۵,۹	۹۵,۶	۹۵	۹۵	۹۵,۳	۹۶,۸	۹۷,۱
Si(T)	۷,۳۱	۷,۸۵	۷,۶۶	۷,۴۲	۶,۵۹	۷,۶۷	۷,۱۶	۷,۲۳	۷,۷۵	۷,۵۱
Ti(T)	۰	۰	۰	۰	۰,۰۱	۰	۰	۰	۰	۰,۰۱
Al(T)	۰,۶۷	۰,۱	۰,۲۷	۰,۳۷	۱,۲۴	۰,۲	۰,۸۴	۰,۷۷	۰,۲۲	۰,۴۹
Fe ⁺³ (C)	۱,۳۷	۰,۲۵	۰,۷۲	۱,۳۹	۱,۹۳	۰,۴۹	۰	۱,۰۸	۰,۴۲	۰,۶۵
Fe ⁺² (C)	۰,۳۱	۰,۹۷	۰,۷۸	۰	۰,۲۹	۰,۴۹	۱,۳۰	۰,۳۲	۰,۹۱	۰,۶۲
Mn ⁺² (C)	۰,۰۴	۰	۰,۰۳	۰	۰,۰۳	۰	۰,۰۱	۰,۰۱	۰,۰۱	۰,۰۱
Mn ⁺² (B)	۰	۰,۰۲	۰	۰,۰۲	۰	۰,۰۲	۰	۰	۰	۰
Fe ⁺² (B)	۰	۰,۰۱	۰	۰,۰۴	۰	۰,۰۷	۰	۰	۰	۰
Mg(C)	۳,۲	۳,۷۹	۳,۴۷	۳,۶۱	۲,۶	۴,۰۲	۲,۹۸	۳,۵۱	۳,۶۴	۳,۶۱
Ca(B)	۱,۷۱	۱,۹۷	۱,۸۸	۱,۷۲	۱,۹۰	۱,۹۱	۲	۱,۸۳	۱,۹۳	۱,۹۵
Na(B)	۰,۱۳	۰	۰,۰۹	۰,۰۷	۰,۱۰	۰	۰	۰,۰۴	۰,۰۴	۰,۰۵
(Na+K)A	۰,۰۳	۰,۰۲	۰	۰	۰,۳۳	۰,۰۳	۰,۰۴	۰,۰۱	۰,۰۱	۰,۰۷
(Na+Ca)B	۱,۸۴	۱,۹۷	۱,۹۷	۱,۸۰	۲	۱,۹۱	۲	۱,۸۷	۱,۹۷	۲
Mg(Mg+Fe2)	۰,۹۱	۰,۷۹	۰,۸۲	۰,۹۹	۰,۹۰	۰,۸۸	۰,۷۰	۰,۹۲	۰,۸۰	۰,۸۵



شکل ۱ نقشه زمین شناسی دایک‌های دیابازی منطقه رضا آباد (جنوب غربی بیار جمند).



شکل ۲ تصویر هوایی گوگل از دسته دایک‌های دیابازی با روند تقریبی شمال غربی-جنوب شرقی.



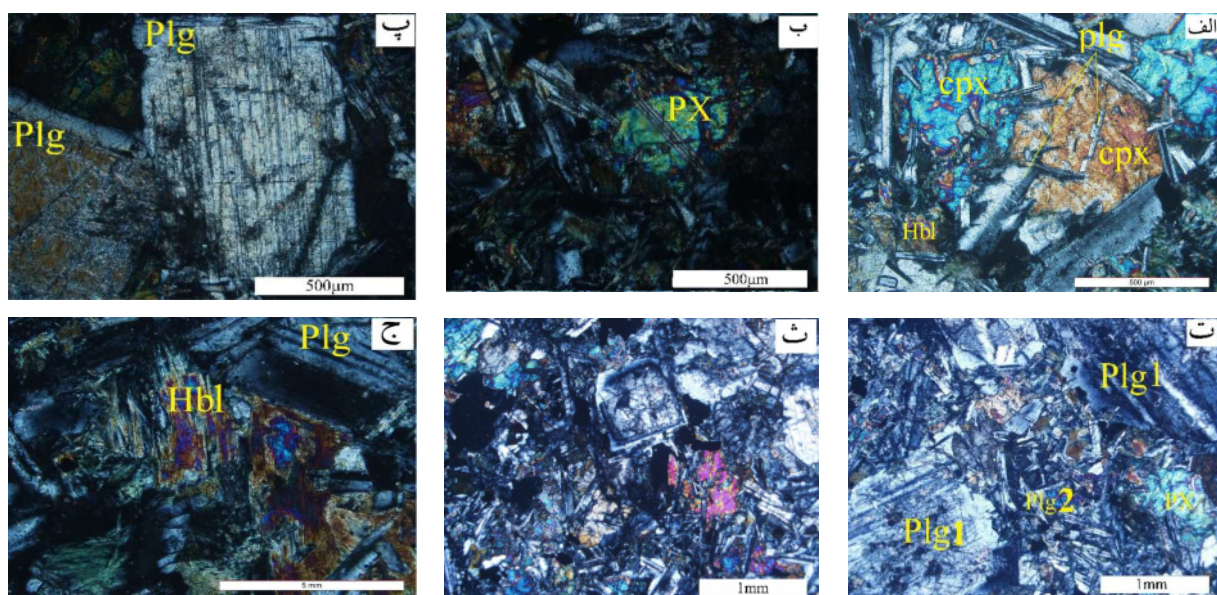
شکل ۳ الف) نمایی از دسته دایک‌های قطع کننده واحد گنیسی در غربی روستای رضا آباد (دید به سمت جنوب غربی). ب) نمایی از دایک‌های رضا آباد که توسط گسل راستگرد جابه‌جا شده است (دید به سمت شمال غربی).

(شکل‌های ۴ الف و ب). از کانی‌های اصلی تشکیل‌دهنده این سنگ‌ها می‌توان به پلاژیوکلاز، پیروکسن و آمفیبول اشاره کرد. پلاژیوکلاز، بیشتر به صورت شکل‌دار تا نیمه‌شکل‌دار با ماکل کارلسbad و پلی‌سنتیک به دو صورت درشت‌بلور و ریز‌بلور در زمینه این سنگ‌ها حضور دارد (شکل‌های ۴ پ و ت). این کانی در بعضی نمونه‌ها تاحدودی سریسیتی شده است. در این سنگ‌ها دو نسل پلاژیوکلاز را می‌توان تشخیص داد و علت تشکیل این دو نسل در ارتباط با دوره‌های متفاوت سرد شدن ماقماست. درشت‌بلورها می‌توانند به علت وجود یک مرحله سرد شدن طولانی و توقف ماقما در یک آشیانه ماقمایی ایجاد شده باشند ولی ریز‌بلورها در طی صعود و جایگیری نهایی ماقما در نزدیکی سطح زمین، تشکیل شده‌اند. بیشتر پلاژیوکلازها دارای بافت غربالی، منطقه‌بندی (شکل ۴ ث) و برهم‌رسیدی هستند. سازوکار تشکیل بافت غربالی در پلاژیوکلازها می‌تواند به دلیل تغییر ترکیب ماقمای در حال تبلور بر اثر ورود ماقمای داغ و تازه به داخل آشیانه ماقمایی، افزایش دما به دلیل ورود ماقمای داغ و یا انتقال بلورها از مناطق کم‌دما به مناطق داغ آشیانه به دلیل بروز جریان‌های همرفتی، کاهش فشار لیتواستاتیک بر اثر بالا آمدن ماقما و یا افزایش فشار بخار آب در هنگام صعود ماقما ایجاد شود [۱۵، ۱۶]. در اکثر نمونه‌ها، بلورهای پلاژیوکلاز در داخل درشت بلورهای کلینوپیروکسن قرار دارند و منجر به تشکیل بافت‌های افیتی و نیمه‌افیتی شده‌اند. این امر به شروع هسته‌بندی و تبلور

در مناطق مجاور از جمله سفیدستگ، دلبر، میامی و شترکوه و بندهزارچاه نیز دایک‌های مشابهی رخنمون دارند [۱-۳، ۱۱]. این دایک‌ها مجموعه دگرگونی و گرانیتوئیدهای نئوپروتوزوئیک و همچنین دنباله رسوبی تخریبی تریاس پسین - ژوراسیک پیشین (معادل با سازند شمشک) را قطع کرده‌اند ولی در آهک‌های ماسه‌ای و فسیل‌دار ژوراسیک پیشین (معادل سازند دلیچایی) و آهک‌های کرتاسه پیشین ادامه ندارند [۹-۱۱]. لذا می‌توان سن اواخر ژوراسیک میانی را برای آنها در نظر گرفت. به علاوه، تعیین سن دایک‌های موجود در منطقه دلبر با استفاده از روش U-Pb بر آپاتیت، سن ۱۵۲ میلیون سال را نتیجه داده است [۱۱] که با سن به دست آمده از جایگاه چینه-شناختی یکی است. در داخل سازند شمشک در پهنه البرز شرقی نیز دایک‌های مشابهی نفوذ کرده‌اند که در آهک‌های سازند دلیچایی به سن ژوراسیک پسین ادامه ندارند [۸-۵]. مقایسه دایک‌های مشابه در مناطق مجاور و پهنه البرز با دایک‌های مورد بررسی در رضا آباد نشان می‌دهد که هر دو گروه دارای جایگاه چینه‌شناختی، گستره سنی و سنگ‌زایی بسیار مشابهی هستند.

سنگ‌نگاری

سنگ‌های سازنده دایک‌های مورد بررسی در نمونه دستی دارای رنگ خاکستری تیره و ساختهای ناپیدابلور و بورفیری هستند. بررسی‌های سنگ‌نگاری دقیق روی مقاطع نازک میکروسکوپیکی تهیه شده از آن‌ها نشان می‌دهند که این سنگ‌ها دارای بافت‌های میان‌دانه‌ای، افیتی، نیمه‌افیتی هستند



شکل ۴ الف) نمایش بافت افیتی و نیمه افیتی در دایک‌های دیابازی ب) تصویری از بلور کلینوپیروکسن با ماکل اوژیتی (XPL)، پ) ماکل پایی سنتیک در پلازیوکلازها (XPL)، ت) تصویری از وجود دو نسل پلازیوکلاز در نمونه‌های دیابازی (XPL). ث) منطقه‌بندی در درشت بلور پلازیوکلازهای نسل اول (XPL)، ج) تصویری از کانی هورنبلند در دایک‌های دیابازی که در حال تبدیل شدن به کلریت است (XPL).

دار تا نیمه‌شكل دار با خاستگاه اولیه و در برخی نمونه‌ها با خاستگاه ثانویه و به صورت اورالیت در اطراف کلینوپیروکسن وجود دارند. همچنین خود کانی آمفیبول نیز در اثر دگرسانی به کلریت، اپیدوت و کانی کدر تبدیل شده است (شکل ۴ ج). از جمله کانی‌های فرعی موجود در این سنگ‌ها می‌توان به آپاتیت، اسفن و منیتیت اشاره کرد.

شیمی کانی‌ها

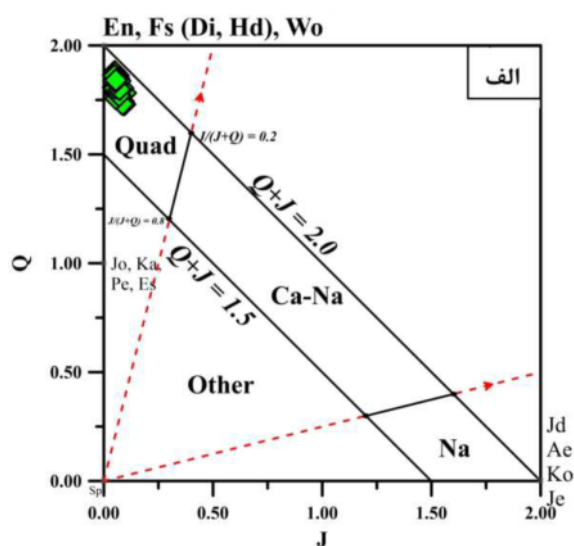
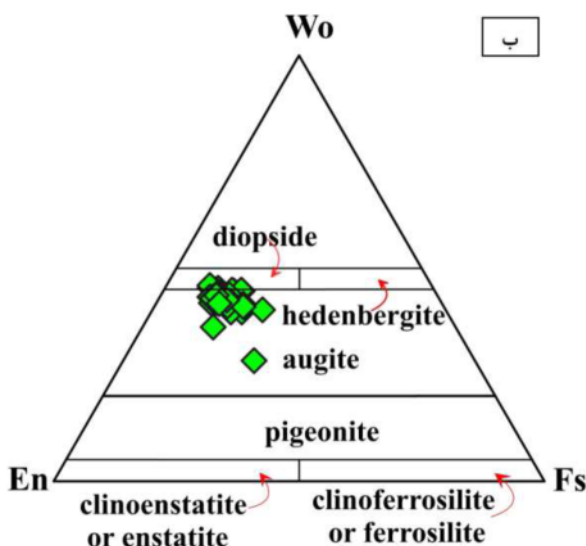
کلینوپیروکسن: به منظور بررسی ترکیب دقیق کلینوپیروکسن‌های موجود در دایک‌های دیابازی مورد بررسی، ۵۰ تجزیه نقطه‌ای روی آن‌ها صورت گرفت (جدول ۱). براساس نمودار J-Q [۱۸] کلینوپیروکسن‌های مورد بررسی در محدوده قرار می‌گیرند (شکل ۵ الف) به منظور تعیین نوع دقیق پیروکسن‌ها از نمودار رده‌بندی مرجع [۱۸] استفاده شد. بر این اساس، پیروکسن‌های منطقه، ترکیب اوژیت تا دیوپسید را نشان می‌دهند (شکل‌های ۵، ۶، ۷). ترکیب اعضای نهایی این کانی در گستره $En_{33.99-50.69} Fs_{4.89-16.43} Wo_{39.18-50.77}$ قرار می‌گیرد و مقدار عدد منیزیم $[Mg/(Mg+Fe^{+2}) = 100Mg\#]$ این کانی در حدود ۵۰ تا ۵۲ درصد محاسبه شده است. در نمودار توزیع Al و Si پیروکسن-

زودتر پلازیوکلاز و یا شروع تبلور تقریباً همزمان این دو کانی و تداوم بیشتر تبلور کلینوپیروکسن مربوط است [۱۷]. درشت بلورهای کلینوپیروکسن به صورت غیر خودشکل تا نیمه‌شكل‌دار و گاهی همراه با ماکل دوتایی و تکراری دیده می‌شوند (شکل ۴ ب). برخی از کلینوپیروکسن‌ها طی فرآیندهای دگرسانی به آمفیبول تبدیل شده‌اند (اورالیتی شدن). کلینوپیروکسن‌ها بیشتر به صورت پرکننده فضای بین پلازیوکلازها حضور دارند و بافت میان دانه‌ای را ایجاد کرده‌اند. چنان که بیان شد، از جمله ویژگی‌های بافتی شاخص در کلینوپیروکسن‌ها، بافت‌های افیتی و نیمه‌افیتی هستند (شکل ۴ الف و ب). به عقیده بست [۱۷] سه روش برای تبلور پلازیوکلاز و کلینوپیروکسن و تشکیل این بافت‌ها وجود دارد (الف) ابتدا شکل‌گیری چند هسته کلینوپیروکسن در گدازه و رشد اولیه‌ای آنها و به دنبال آن، هسته‌زایی فراوان پلازیوکلاز صورت می‌گیرد و سپس رشد جریان دو فاز تشکیل بافت افیتی. (ب) هسته‌بندی همزمان کلینوپیروکسن و پلازیوکلاز در گدازه و رشد همزمان آنها. (ج) بروز هسته‌بندی و رشد پلازیوکلاز پیش از کلینوپیروکسن و سپس انجام هسته‌بندی کلینوپیروکسن، و در ادامه رشد سریع و همزمان هردو. آمفیبول به صورت شکل-

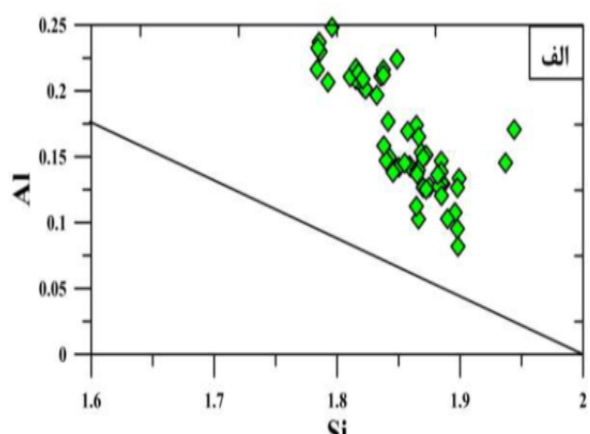
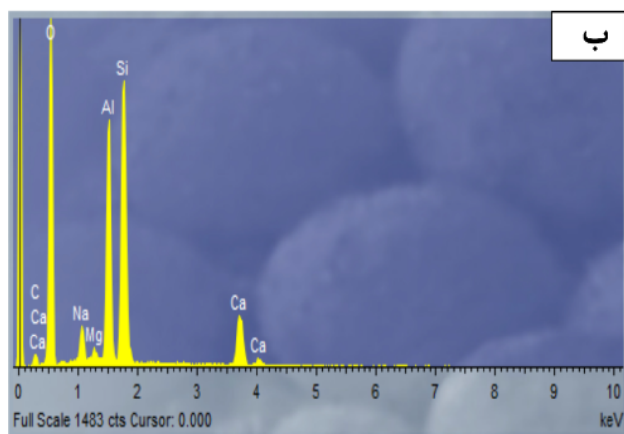
های مورد بررسی است. نتایج تجزیه‌ی نقطه‌ای برخی از پلازیوکلازهای درشت بلور و دارای منطقه‌بندی و کاتیون‌های آن‌ها پس از محاسبه براساس فرمول ساختاری ۸ اکسیژن در جدول ۲ آمده است. ترکیب شیمیایی پلازیوکلازهای تجزیه شده در نمودار مثلثی Ab-An-Or [۲۲] در محدوده الیگوکلاز، آندزین، لابرادوریت و بیتونیت واقع می‌شوند (شکل‌های ۷ الف و ب). روندهای تغییرات اکسیدهای سدیم و کلسیم نشانگر تغییرات منظم و جدایشی ساده از مرکز پلازیوکلازها به سمت حاشیه آنها و بیانگر منطقه‌بندی عادی در آنهاست.

های مورد بررسی در بالای خط اشباع در جایگاه چاروجهی قرار می‌گیرند. بنابراین، جایگاه چاروجهی این کلینوپیروکسن‌ها به طور کامل با Si و به طور بخشی با Al_{IV} جایگزین شده است و Al اضافی نیز به همراه سایر عنصر سه ظرفیتی وارد جایگاه هشت وجهی پیروکسن‌ها می‌شود. در نتیجه، این جایگاه نمی‌تواند با کاتیون‌های سه ظرفیتی مثل Cr⁺³, Fe⁺³ و Ti⁺³ اشغال شده باشد. (شکل ۶ الف) [۲۱-۱۹]. از این‌رو چنین پیروکسنسی، واحد آلومینیوم، در جایگاه هشت وجهی است.

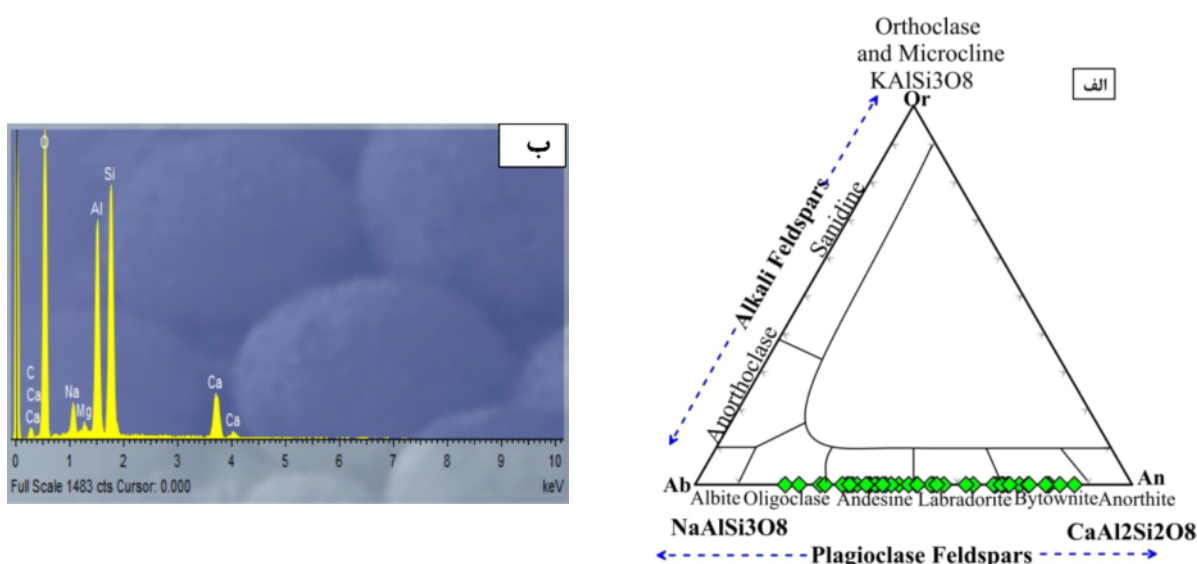
پلازیوکلاز: پلازیوکلاز، فراوانترین کانی تشکیل دهنده‌ی دایک



شکل ۵ الف و ب) ردبهندی پیروکسن‌های منطقه‌بازه به نمودارهای مرجع [۱۹].



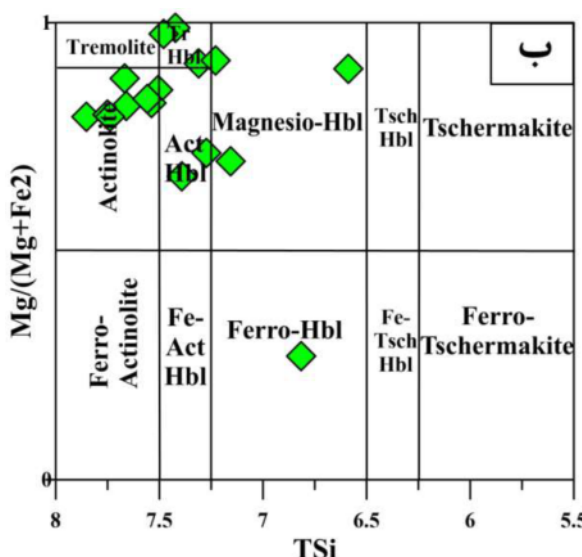
شکل ۶ الف) در نمودار مرجع [۲۲] که نمونه‌های مورد بررسی در بالای خط اشباع چاروجهی قرار می‌گیرند، ب) تصویر بررسی کیفی به روش EDS یک نمونه از پیروکسن‌های مورد بررسی.



شکل ۷ الف) ترکیب شیمیایی فلدسپارها بر اساس ردهبندی مرجع [۲۳]، ب) تصویر بررسی کیفی به روی EDS یک نمونه از پلاژیوکلازهای های مورد بررسی.

بر اساس فرمول بیشترین و کمترین Fe^{+3} بهنجار می‌شود، برای هورنبلند اشباع از کلسیم مناسب است [۲۴]. بر اساس نمودار مرجع [۲۴] ترکیب آمفیبیول‌های مورد بررسی در قلمرو کلسیمی واقع شده‌اند (شکل ۸ الف). آمفیبیول‌های کلسیمی اولیه در محدوده مگنزیو‌هورنبلند و نمونه‌های کلسیمی ثانویه در محدوده اکتینولیت و هورنبلند اکتینولیت قرار می‌گیرند (شکل ۸ ب).

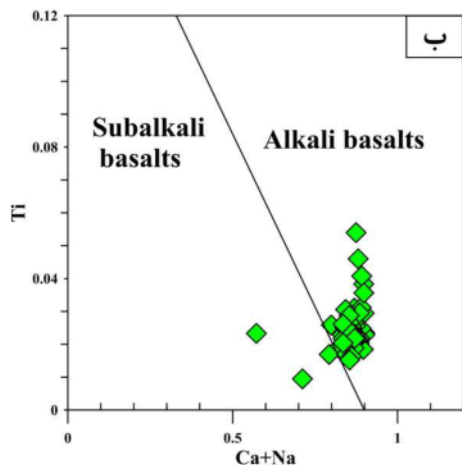
آمفیبیول: فرمول ساختاری آمفیبیول به ازای ۲۳ اتم اکسیژن و ۱۳ کاتیون بدون در نظر گرفتن کاتیون‌های K, Ca و Na محاسبه شده است (جدول ۳). برای نامگذاری آمفیبیول‌ها از نرم افزار ۱.۲ WinAmphcal [۲۳] بر پایه ردهبندی مرجع [۲۴] استفاده شده است. برآورد نسبت Fe^{+3} برآورد نسبت ۱۳e CNC ۱۵e NK صورت گرفته است، که به ترتیب کمترین و بیشترین نسبت آهن سه طرفیتی را به دست می‌دهند. این روش که در آن فرمول کانی



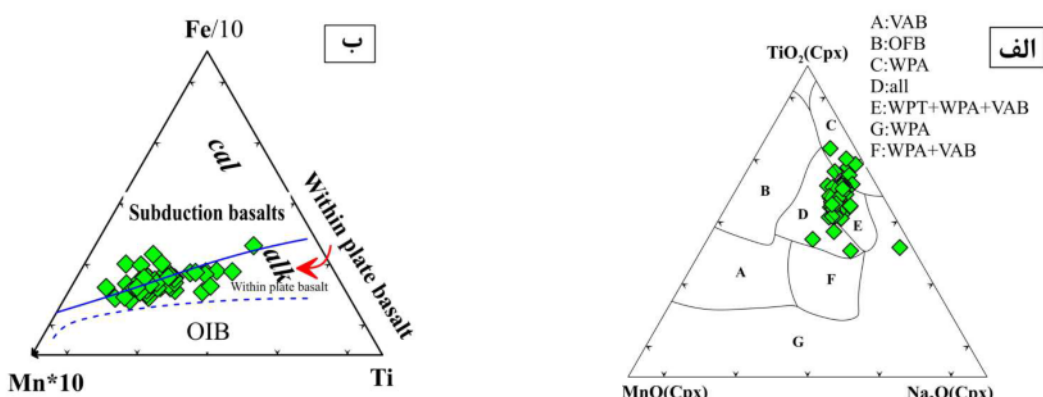
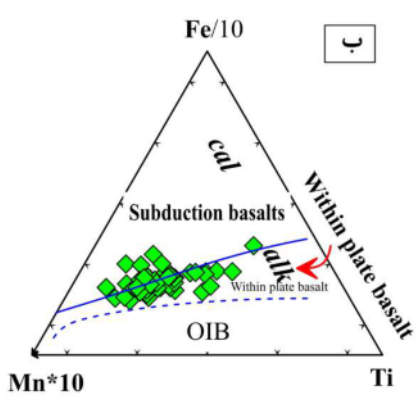
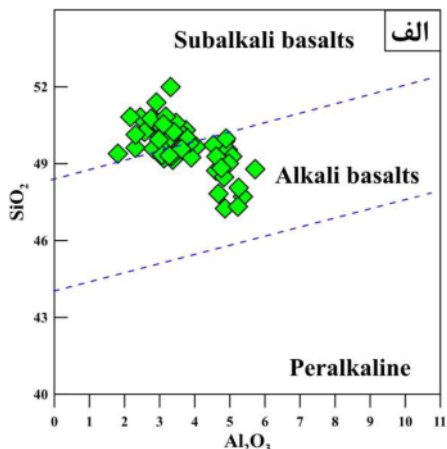
شکل ۸ الف و ب) نمودارهای ردهبندی و نامگذاری آمفیبیول‌های مورد بررسی بر اساس ردهبندی مرجع [۲۵].

نسبت $\text{Ti} / (\text{Na} + \text{Ca})$ به ترکیب شیمیایی پیروکسن‌های مورد بررسی در محدوده قلیایی قرار می‌گیرند (شکل ۹ ب). ماهیت قلیایی ماقمای سازنده کلینوپیروکسن‌ها با ماهیت قلیایی دایک‌های دیابازی که بر پایه ترکیب سنگ کل به دست آمده همخوانی دارد [۱۱-۹]. به منظور تشخیص جایگاه زمین‌ساختی و خاستگاه احتمالی ماقمای سازنده این سنگ‌ها، از نمودارهای مختلف تمایز محیط زمین‌ساختی استفاده شده است. از آنجا که کلینوپیروکسن‌های محیط‌های درون ورقه‌ای دارای مقادیر Al , Si و Ti مشخصی هستند، استفاده از این کانی برای شناسایی این محیط‌ها بسیار مناسب است [۲۹]. در نمودارهای مثلثی $\text{MnO} \cdot \text{Na}_2\text{O} \cdot \text{TiO}_2$ [۲۸] و $\text{Fe}/10 \cdot \text{Ti} \cdot \text{Mn}^{*}10$ [۲۵] نمونه‌های مورد بررسی در قلمرو محیط‌های درون ورقه‌ای قرار می‌گیرند (شکل ۱۰ الف و ب).

تعیین سری ماقمایی و محیط زمین‌ساختی برپایه برخی پژوهش‌ها (از جمله [۲۷-۲۵]) ترکیب شیمیایی پیروکسن‌ها به ویژه فراوانی عناصری مانند Al , Ti , Cr , Na و Si در شناسایی ماهیت ماقمای و موقعیت زمین‌ساختی بسیار با اهمیت هستند. بر این اساس چندین نمودار تعیین سری ماقمایی بر پایه شیمیایی پیروکسن طراحی شده است. پس [۲۶] معتقد است که مقادیر Al , Si و Ti در شبکه ساختار پیروکسن به درجه قلیائیت بستگی دارد و ابزار مناسبی برای تفکیک سری‌های ماقمایی است. بر همین اساس در نمودار SiO_2 معتقدم است که Al_2O_3 [۲۶] نمونه‌های مورد بررسی در محدوده قلیایی تا نیمه قلیایی قرار می‌گیرند (شکل ۹ الف). [۲۸] معتقد است که برای جلوگیری از اثر غنی‌شدگی Al و Ti که گاهی بر اثر سرد شدن سریع ماقمای ایجاد می‌شود از مقدار $\text{Ca} + \text{Na}$ کلینوپیروکسن به جای مقدار Al استفاده شود. در نمودار



شکل ۹ تعیین سری ماقمایی نمونه‌های مورد بررسی با استفاده از ترکیب شیمیایی پیروکسن، الف) نمودار $\text{Al}_2\text{O}_3 / \text{TiO}_2$ نسبت به [۲۷]، ب) نمودار $\text{Ca} + \text{Na} / \text{Ti}$ نسبت به [۲۸].



شکل ۱۰ تعیین محیط زمین‌ساختی دایک‌های دیابازی با استفاده از ترکیب کلینوپیروکسن، الف) [۲۹]، ب) [۲۶].

$$\begin{aligned} P(\text{kbar}) = & 3205 + 0.384*T(^{\circ}\text{K}) - 518*\ln[T(^{\circ}\text{K})] - \\ & 5.62*(X_{Mg}^{Cpx}) + 83.2*(X_{Na}^{Cpx}) + 68.2*(X_{Al}^{Cpx} \cdot X_{DiHd}^{Cpx}) + \\ & 2.52*\ln(X_{Al}^{Cpx} \cdot X_{Na}^{Cpx}) - 51.1*(X_{Al}^{Cpx} \cdot X_{DiHd}^{Cpx})^2 + 34.8*(X_{EnFs}^{Cpx})^2 \quad (4) \\ & \text{که در آن} \end{aligned}$$

$$X_{Al}^{Cpx} = \text{Ca-CaTs-CaTi-CrCaTs} \quad (5)$$

$$X_{EnFs}^{Cpx} = [(Fe_{tot} + Mg) - (\text{Ca-CaTi-CaTs-CrCaTs})]/2 \quad (6)$$

طبق این روش، میانگین دمای تشکیل کلینو پیروکسن‌ها بین ۱۱۴۶ تا ۱۲۱۷ درجه سانتیگراد و میانگین فشار ۰/۳۳ تا ۱۰ کیلوبار برآورد شده است.

روش کلینوپیروکسن - گدازه بر پایه توزیع Al بین کلینوپیروکسن و گدازه همزیست در سیستم‌های ماقمایی آبدار بنا شده است. به عقیده پاتریکا [۳۳]، ضریب توزیع آهن و منیزیم بین کلینوپیروکسن و مایع برابر 0.27 ± 0.08 و مستقل از دماست. این بیانگر آن است که ترکیب کلینوپیروکسن می‌تواند برای تعیین نسبت‌های منیزیم به آهن در مایعی که از آن متبلور شده است، استفاده شود، همچنین برای پیش‌بینی ترکیب کلینوپیروکسنسی که از مایعی با نسبت منیزیم به آهن مشخص، متبلور می‌شود، کاربرد دارد. برای درک رابطه تعادل کلینوپیروکسن / گدازه، از نمودار عدد منیزیم سنگ کل نسبت به عدد منیزیم کلینوپیروکسن استفاده شد. در این پژوهش تنها از نمونه‌های در تعادل با گدازه بودند استفاده شد (شکل ۱۱، الف). نتایج بدست آمده از این روش بیانگر دمای ۱۱۰۰ تا ۱۲۰۰ درجه سانتیگراد و فشار ۵ تا ۱۰ کیلوبار است.

$$\begin{aligned} P(\text{kbar}) = & -57.9 + 0.0475T(K) - 40.6(X\text{FeO}^{liq}) - \\ & 47.7(X\text{CaTs}^{cpx}) + 0.676(H_2\text{O}^{liq}) - 153(X\text{CaO}0.5^{liq} \cdot X\text{SiO}_2^{liq}) + 6.89[X\text{Al}^{cpx}/X\text{AlO}1.5^{liq}] \\ X\text{Al}^{cpx} = & X\text{Al(IV)}^{cpx} + X\text{Al(VI)}^{cpx} \end{aligned}$$

در ادامه برای تأیید نتایج یادشده از روش ترسیمی [۳۵] استفاده شد. [۳۵] با بهره‌گیری از مقادیر XPT و YPT در ترکیب کلینوپیروکسن، یک نمودار ترسیمی برای برآورد دما و فشار ارائه نموده است. با توجه به این نمودار، کلینوپیروکسن‌های مورد بررسی در گستره دمایی حدود ۱۱۰۰ تا ۱۱۸۰ درجه سانتیگراد و فشار کمتر از ۱۰ کیلوبار متبلور شده‌اند (شکل‌های ۱۱، ب و پ).

زمین‌دما - فشار سنجی

در دهه‌های اخیر بررسی‌های زمین‌دما‌سنجی و زمین-فشارسنجی برای شناخت شرایط دما و فشار تشکیل سنگ‌ها، به عنوان یک روش مفید مطرح شده‌اند [۳۰]. اساس این تحقیقات بر این فرض استوار است که مجموعه کانی‌های سنگ در شرایط تعادلی تشکیل شده باشند. در این بخش به منظور تعیین شرایط دما - فشار تبلور کانی‌ها از روش‌های متعدد تبادل کاتیونی استفاده شده است. با توجه به این که بیشتر آمفیبول‌ها اولیه نبوده و ناشی از دگرسانی هستند و در گستره اکتینیولیت قرار دارند، بنابراین قابلیت استفاده برای دما-فشارسنجی را ندارند. لذا در این پژوهش، تنها از ترکیب کلینوپیروکسن برای دما-فشارسنجی استفاده شده است.

بررسی‌های اخیر درباره پیروکسن‌ها بیانگر آن است که تغییرات شرایط فشار و دما نقش مهمی در ترکیب کلینوپیروکسن‌های متبلور شده از ماقمایی دارند و به همین علت در ماقمه‌های بازی مورد توجه‌اند [۳۲، ۳۱]. بر همین اساس ترکیب شیمیایی پیروکسن‌ها را می‌توان در راستای تعیین دما و فشار سنگ‌های حامل آن‌ها به کار برد. پاتریکا [۳۳] بر اساس مدل مرجع [۳۴] دو نوع دما-فشارسنج بر اساس ترکیب تک کلینوپیروکسن (به عنوان مثال معادله ۱۳۲الف در مرجع [۳۳]) و کلینوپیروکسن - گدازه (به عنوان مثال معادله‌های ۳۲ ب و ج در مرجع [۳۳] ارائه داد). این مدل‌ها دارای بالاترین دقیقت و کمترین خطای هستند. روش تک کلینوپیروکسن بر اساس محاسبه میزان فعالیت انستاپیت در کلینوپیروکسن و بدون دخلات ترکیب گدازه طراحی شده است و عموماً برپایه تعادل [۳۱] است. در این پژوهش از برنامه Ca-Mg Winpyrox برای برآورد شرایط دما و فشار تبلور پیروکسن به روش تک

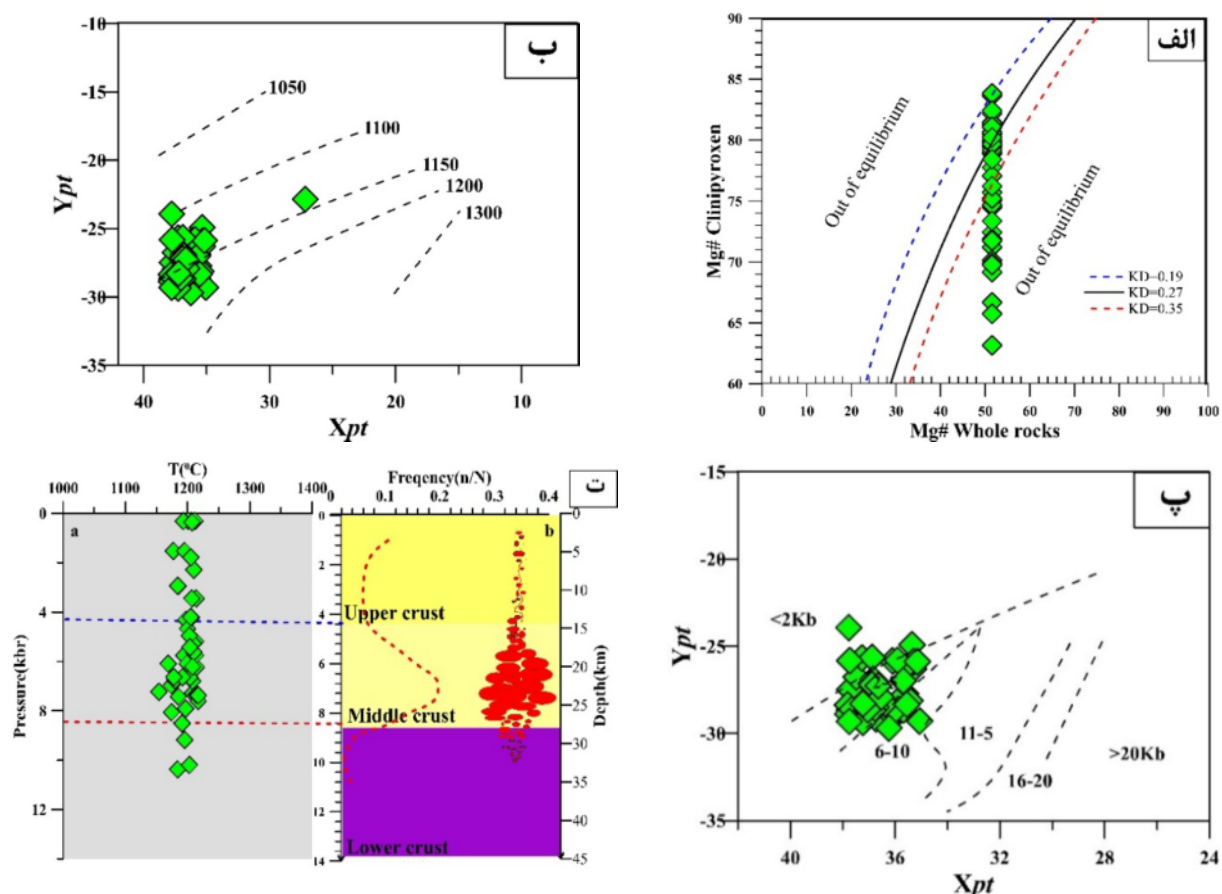
کلینوپیروکسن بر اساس رابطه‌های (۱) و (۴) استفاده شد:

$$\begin{aligned} T(K) = & 93100 + 544P(\text{kbar})/61.1 + 36.6(X_{\text{Ti}}^{cpx}) + \\ & 10.9(X_{\text{Fe}}^{cpx}) - 0.95(X_{\text{Al}}^{cpx} \cdot X_{\text{Cr}}^{cpx} \cdot X_{\text{Na}}^{cpx} \cdot X_{\text{K}}^{cpx}) + \\ & 0.395[\ln(a_{En}^{cpx})]^2 \quad (1) \end{aligned}$$

که در این معادله:

$$X_{\text{Al}}^{cpx} = X_{\text{Al(IV)}}^{cpx} + X_{\text{Al(VI)}}^{cpx} \quad (2)$$

$$a_{En}^{cpx} = (1-X\text{Ca}^{cpx} - X\text{Na}^{cpx} - X\text{K}^{cpx}) * (1-0.5(X\text{Al}^{cpx} + X\text{Cr}^{cpx} + X\text{Na}^{cpx} + X\text{K}^{cpx})) \quad (3)$$



شکل ۱۱ (الف) آزمون تعادل کانی - گدازه با استفاده از $Kd[Fe-Mg]$ بین کلینوپیروکسن و گدازه همزیست [۳۴]، (ب) نمودار تعیین دمای کلینوپیروکسن با استفاده از روش مرجع [۳۵]، (پ) نمودار تعیین فشار با استفاده از روش مرجع [۳۶]، (ت) مدلی طرحوار از صعود ماقما بر پایه فراوانی عمق تبلور پیروکسن (عمق مoho با توجه به بررسی‌های پیشین [۳۷،۳۸] ۴۵ کیلومتر در نظر گرفته شده است).

منحنی کوتکتیک است، می‌توان تبلور پلازیوکلازها را نیز در فشارهای مشابه با کلینوپیروکسن‌ها در نظر گرفت. همچنین با فرض اینکه فشار حاکم در زمان تبلور کلینوپیروکسن، فشار همه جانبه لیتواستاتیک، ناشی از وزن سنگ‌های بالایی بوده است، می‌توان با استفاده از رابطه $P = p.g.h$ عمق را محاسبه کرد. با فرض چگالی ۲۶۵ گرم بر سانتی‌متر مکعب برای سنگ‌های پوسته قاره‌ای می‌توان عمق تبلور ماقما را در آشیانه‌آشیانه‌های ماقمایی واقع در اعماق کمتر از ۲۵ کیلومتر دانست (شکل ۱۱ ت).

برداشت

در منطقه رضا آباد دایک‌های دیابازی ژوراسیک میانی- پسین، با روندهای شمال‌غربی - جنوب‌شرقی سنگ‌های دگرگونی

به طور کلی نتایج حاصل از دما - فشار سنجی روی کلینوپیروکسن‌های موجود در دایک‌های دیابازی ژوراسیک منطقه رضا آباد به روش‌های مطرح شده در مراجع [۳۵، ۳۳] در بردارنده‌ی نتایج بسیار قابل قبول و همخوانی با یکدیگر و نیز سازگار با شواهد سنگ‌نگاری هستند. با توجه به همپوشانی این گستره‌ها می‌توان فشار کمتر از ۱۰ کیلوبار و دمای بین ۱۱۰۰ تا ۱۲۰۰ درجه سانتیگراد را برای تبلور آنها در نظر گرفت که با نتایج بدست آمده از مناطق مجاور، دلبر و بند هزار جاه، (فشار کمتر از ۱۰ کیلوبار و دمای بین ۱۱۹۰ تا ۱۱۰۰ درجه سانتیگراد) [۱۰، ۱۲] قابل مقایسه است. با توجه به اینکه پلازیوکلاز و کلینوپیروکسن کانی‌های اصلی دایک‌های دیابازی هستند و روابط بافتی و حضور فراوان بافت نیمه‌افیتی در آنها حاکی از همپوشانی وسیع در بازه زمانی رشد این دو کانی بر

- [۱] اصغرزاده ز، "زمین‌شناسی، ژئوشیمی و پترولوزی دایک‌های دیابازی منطقه دلبر، پایان‌نامه کارشناسی ارشد، دانشکده علوم‌زمین، دانشگاه صنعتی شاهروود، (۱۳۹۲).
- [۲] دادپور م، "پترولوزی و ژئوشیمی سنگ‌های بازالتی موجود در قاعده توالی رسوی ژوراسیک منطقه جمیل (خاور سهل) و اهمیت ژئوینامیکی آنها، پایان‌نامه کارشناسی ارشد، دانشکده علوم‌زمین، دانشگاه صنعتی شاهروود، (۱۳۹۳).
- [۳] مقدسی ص، "پترولوزی، پتروزنر و جایگاه چینه‌نگاری سنگ‌های آتشفشنائی ژوراسیک در زون البرز خاوری، پایان‌نامه کارشناسی ارشد، دانشکده علوم‌زمین، دانشگاه صنعتی شاهروود، (۱۳۸۲).
- [۴] قاسمی ح، جمشیدی خ، "ژئوشیمی، سنگ‌شناسی و الگوی تکتونوماگماتیک پیشنهادی برای تشکیل سنگ‌های بازی قلیایی در قاعده سازند شمشک"، زون البرز خاوری، مجله بلورشناسی و کانی‌شناسی ایران، شماره ۴ (۱۳۹۰) ص ۶۹۹-۷۱۴.
- [۵] قاسمی ح، جمشیدی خ، "بررسی خصوصیات ناحیه منشأ سنگ‌های آلکالن بازیک قاعده سازند شمشک در البرز خاوری، فصلنامه زمین‌شناسی ایران، شماره ۲۷ (۱۳۹۲) ص ۱۷-۲۹.
- [۶] جمشیدی خ، "مطالعه مagma-tism مافیک قاعده سازند شمشک در زون البرز خاوری، پایان‌نامه کارشناسی ارشد، دانشکده علوم‌زمین، دانشگاه صنعتی شاهروود، (۱۳۸۹).
- [۷] Wilmsen M., Fursich F., Emami K., Majidifard M., Taheri J., *The Cimmerian Orogeny in northern Iran: tectono-stratigraphic evidence from the foreland*', Terra Nova 21 (2009) 211-218.
- [۸] حسینی ح. س، صادقیان م، قاسمی ح، "سنگ‌شناسی، زمین‌شیمی و جایگاه چینه‌شناختی اجتماعات دایکی دیابازی قطع کننده توبه گرانیتوپیلی بند هزارچاه (جنوب خاور شاهروود) شاهدی بر مagma-tism سیمرین میانی، مجله ژئوشیمی زرنده شماره ۴ (۱۳۹۳) ص ۳۱۰-۳۱۸.
- [۹] حسینی ح. س، صادقیان م، جای م، قاسمی ح، "شیمی کانی، دما-فشار-سنگی و پتروزنر فوج دایک بازیک بند هزارچاه (جنوب خاور شاهروود)، فصلنامه پترولوزی، شماره ۲۵ (۱۳۹۵) ص ۸۱-۹۶.
- [۱۰] بلاغی ز، صادقیان م، قاسمی ح، محجل م، جای م، "کانی‌شناسی، زمین‌شیمی و سن پرتوسنگی دایک‌های مافیک موجود در

پرکامبرین را قطع کرده‌اند. این دایک‌ها از کانی‌های اصلی کلینوپیروکسن، پلازیوکلاز و آمفیبول تشکیل شده‌اند. برپایه بررسی‌های سنگنگاری، بافت آنها میان دانه‌ای، افیتی، نیمه-افیتی است. نتایج حاصل از بررسی‌های ریزپردازندۀ الکترونی نشان می‌دهند که پیروکسن‌های موجود در این دایک‌ها در گستره کلینوپیروکسن‌های کلسیم-منیزیم-آهن‌دار قرار دارند و از نوع اوژیت تا دیوپسید هستند. ترکیب این کانی منطبق بر پیروکسن‌های موجود در سری مagma-tism قلیایی بوده و بیانگر یک محیط زمین‌ساختی درون ورقه‌ای است. آمفیبول‌های (مگنزیو-هورنبلند تا اکتینولیت) موجود در این دایک‌ها از نوع کلسیمی هستند. ترکیب پلازیوکلازها در محدوده الیگوکلاز-آنزین و لابرادوریت-بیتونیت هستند. نتایج حاصل از دما-فسارسنگی روی کلینوپیروکسن‌های موجود در دایک‌های دیابازی بیانگر فشار ۱ تا ۱۰ کیلوبار با تراکمی در گستردۀ ۴ تا ۸ کیلوبار و دمای بین ۱۱۰۰ تا ۱۲۰۰ درجه‌سانتری گراد برای آنهاست که معادل عمق کمتر از ۲۵ کیلومتری در پوسته میانی است. به دلیل تبلور دست کم دو مرحله‌ای سنگ‌های آتشفشنائی (تبلور در آشیانه‌های عمیق و سطح زمین) همیشه وجود چنین اختلافاتی در فشار تبلور کانی‌ها منطقی است، زیرا برخی از درشت بلورها در آشیانه‌های magma-tism عمیق و برخی دیگر در افق‌های بالاتر نزدیک به سطح زمین متبلور می‌شوند. بررسی‌های اخیر نشان داده است که magma-hای بازی در بخش‌های درونی و شمالی ایران مرکزی در تریاس پسین-ژوراسیک پیشین (مناطق دلبر، شترکوه، بندهزارچاه، سفیدسنگ، رضا-آباد و احمدآباد در جنوب شرقی شاهروود)، در حوضه‌های کششی پشت‌کمانی اولیه و نابالغ تشکیل شده‌اند [۱-۳]. بنابراین با توجه به نشانه‌های زمین‌شناسی، زمین‌شیمیابی و کانی‌شناسی مرتبط با محیط‌های درون صفحه‌ای می‌توان تشکیل دایک‌های رضا-آباد را به یک سیستم کششی پشت‌کمانی اولیه و نابالغ نسبت داد.

مراجع

- [۱] ابتهاج م، "پترولوزی و ژئوشیمی دایک‌های دیابازی منطقه باخته بند هزارچاه، پایان‌نامه کارشناسی ارشد، دانشکده علوم‌زمین، دانشگاه صنعتی شاهروود، (۱۳۹۳).

- [23] Yavuz F., "WinAmphcal: A Windows program for the IMA-04 amphibole classification." *Geochemistry, Geophysics, Geosystems* 8.1 (2007).
- [24] Leak B.E., Wooley A.R., Arps C.E.S., Birch W.D., Gilbert M.C., Grice J.D., Hawthorne F.C., Kato A., Kisch H.J., Krivovichev V.G., Linthout K., Laird J., Mandarino J.A., Maresch W.V., Nickel E.H., Rock N.M.S., Schumacher J.C., Smith D.C., Stephenson N.C.N., Ungaretti L., Whittaker J.W., youzhi G., "Nomenclature of amphiboles: Report of The subcommittee on amphiboles of the International Mineralogical Association, commission on new minerals and mineral names", *The Canadian Mineralogist* 82(1997) 219-246.
- [25] Aparicio A., "Relationship between clinopyroxene composition and the formation environment of volcanic host rocks", *IUP J Earth Sci* (2010)4(3) 1-11.
- [26] Le Bas M.J., "The Role of Aluminium in Igneous Clinopyroxenes with Relation to Their Parentage", *American Journal of Science* 260(4) (1962) 267-288.
- [27] Shellnutt J. G., Lee T. Y., Yang C. C., Hu S. T., Wu J. C., Iizuka Y., "A mineralogical investigation of the Late Permian Doba gabbro, southern Chad: Constraints on the parental magma conditions and composition", *Journal of African Earth Sciences* 114 (2016) 13-20.
- [28] Leterrier J., Maury R. C., Thonon P., Girard D., Marchal M., "Clinopyroxene composition as a method of identification of the magmatic affinities of paleo-volcanic series", *Earth and Planetary Science Letters* 59(1) (1982) 139-154.
- [29] Nisbet E. G., Pearce J. A. "Clinopyroxene composition in mafic lavas from different tectonic settings", *Contributions to mineralogy and petrology* 63(2) (1977) 149-160.
- [۳۰] شیردشتزاده ن، صمدی ر، آشنایی با روش‌های زمین دما سنگی و زمین فشارسنگی، انتشارات دانشگاه اصفهان، ۱۳۸۹ ص ۹۹.
- [31] Yavuz F., "WinPyrox: A Windows program for pyroxene calculation classification and thermobarometry", *American Mineralogist* 98.7 (2013): 1338-1359.
- [32] Aydin F., Thompson R. M., Karsli, O. Uchida H., Burt J. B., Downs R.T., "C2/c pyroxene مجموعه‌ی دگرگونی دلبر، بیارجمند(جنوب خاور شهرود)"، مجله بلور‌شناسی و کانی‌شناسی ایران، شماره ۳ (۱۳۹۳) ص ۴۷۱ - ۴۸۴.
- [12] Hanski E., Mertanen S., Ramo T., Vuollo J., "Dyke swarms: Time markers of crustal evolution", Taylor & Francis Group (2006) London: 3-26.
- [۱۳] نوابی ا، صالحی راد م، مجیدی ب، "نقشه زمین‌شناسی ۱:۲۵۰۰۰ خاتروران"، سازمان زمین‌شناسی کشور، (۱۳۷۹).
- [۱۴] سلامتی ر، شافعی ع، سعیدی ع، باباخانی ع، "نقشه زمین‌شناسی ۱:۱۰۰۰۰ احمدآباد"، سازمان زمین‌شناسی کشور، (۱۳۷۸).
- [15] Gill R., *Igneous rocks and processes a practical guide*, Department of Earth Sciences Royal Holloway University of London (2010) 472.
- [۱۶] قاسمی ح، الهیاری س، طاهری ع، صادقیان م، "موقعیت چینه شناختی و تحلیل بافتی سنگ‌های آتشفشاری نوار آتشفشاری-رسوبی عباس‌آباد، شمال خاور شهرود"، مجله پژوهش‌های چینه نگاری و رسوب‌شناسی، سال ۲۹، شماره ۵۰ (۱۳۹۲) ص ۴۲-۲۵.
- [17] Best G., *Igneous and metamorphic petrology*, Blackwell Science (2003) 729.
- [18] Morimoto N., Fabrise J., Ferguson A., Ginzburg I. V., Ross M., Seifert F.A., Zussman J., Akoi K., Gottardi G., "Nomenclature of pyroxenes", *American Mineralogist* 173 (1988) 1123-1133.
- [۱۹] نوری ف، عزیزی ح، رشیدنژاد عمران ن، "ویژگی‌های ماقمایی و زمین دما - فشارسنگی توده گابروی وناکو، جنوب خاور صحنه با استفاده از شیمی دو کانی پیروکسین و پلازیوکلاز"، فصلنامه پترولوزی، شماره ۲۴ (۱۳۹۴) ص ۱۳۱ - ۱۵۰.
- [۲۰] سخایی ز، داویدیان ع، شبایان ن، پایداری م، "رهیافتی بر ویژگی‌های ماقمای سازنده‌ی گابروهای شمال خمین بر پایه‌ی شیمی کانی‌ای کلینوپیروکسین"، مجله بلور شناسی و کانی‌شناسی ایران، شماره ۳ (۱۳۹۴) ص ۵۳۳-۵۴۴.
- [21] Schweitzer E. L., Papike J. J., Bence A. E., "Statistical analysis of clinopyroxenes from deep sea basalts", *American Mineralogist* 64 (1979) 501-513.
- [22] Deer W.A., Howie R.A., Zussman J., "An introduction to the rock forming minerals", Longmans 696 p, 2th editions, London (1992).

- [35] Soesoo A., "A multivariate statistical analysis of clinopyroxene composition: empirical coordinates for the crystallisation PT-estimations", Geological Society of Sweden (Geologiska Föreningen) 119 (1997): 55-60.
- [۳۶] جمشیدی خ، پترولوجی، ژئوشیمی و پتروزیز گنبدهای آدکیتی شمال باشتن، سبزوار، پایان نامه دکتری، دانشکده علوم زمین، دانشگاه صنعتی شهرورد، (۱۳۹۴).
- [37] Motaghi K., Tatar M., Shomali Z. H., Kaviani K., Priestley K., "High resolution image of uppermost mantle beneath NE Iran continental collision zone", Physics of the Earth and Planetary Interiors 208 (2012) 38-49.
- phenocrysts from three potassic series in the Neogene alkaline volcanics, NE Turkey: their crystal chemistry with petrogenetic significance as an indicator of P-T conditions", Contributions to Mineralogy and Petrology 158 (2009) 131-146.*
- [33] Putirka K. D., "Thermometers and barometers for volcanic systems", Reviews in Mineralogy and Geochemistry 69.1 (2008) 61-120.
- [34] Nimis P., Taylor W.R., "Single clinopyroxene thermobarometry for garnet peridotites. Part I. Calibration and testing of a Cr-in-Cpx barometer and an enstatite-in-Cpx thermometer", Contributions to Mineralogy and Petrology 139 (2000) 541-554.